

УДК 539.2; 539.292

©1995

ФОТОИНДУЦИРОВАННОЕ ПОГЛОЩЕНИЕ СВЕТА В ТВЕРДОМ РАСТВОРЕ $Cd_{0.65}Mn_{0.35}Te$ С ВЫСОКОЙ КОНЦЕНТРАЦИЕЙ ДЕФЕКТОВ

В.Ф.Агекян, А.Ю.Серов, Ю.А.Степанов, Ле Тхай Лай

НИИ физики Санкт-Петербургского государственного университета
(Поступила в Редакцию 31 августа 1994 г.)

Исследована кинетика фотопоглощения в кристаллах $Cd_{0.65}Mn_{0.35}Te$ с высоким содержанием дефектов при температуре 77 К. Наблюдаемые изменения поглощения при подзонной ($h\nu = 1.96$ eV) и инфракрасной ($h\nu = 0.36$ eV) подсветках объясняются воздействием на край поглощения случайных электрических полей, возникающих при перезарядке примесных центров.

Фотоиндукционное изменение свойств полупроводников имеет широкое практическое применение, оно лежит в основе методов оптической записи и обработки информации. Изучение фотоиндукционных процессов позволяет получать сведения о параметрах собственных дефектов кристаллов и примесных центров [1-3].

В настоящей работе обнаружено поглощение, наведенное светом в твердых растворах $Cd_{0.65}Mn_{0.35}Te$, и изучена кинетика изменения этого поглощения при включении и выключении подсветки. Кристаллы $Cd_{0.65}Mn_{0.35}Te$ были выращены из расплава методом Бриджмена, причем в процессе роста образовались примесные центры, связанные, по-видимому, с кислородом. В отличие от стандартных твердых растворов $Cd_{1-x}Mn_xTe$ с $x < 0.4$ [4,5] в этих образцах наблюдаются сильные полосы примесной люминесценции в области энергий, значительно меньших, чем ширина запрещенной зоны E_g , при сравнительно слабом экситонном излучении E_{ex} (рис. 1). Спектр пропускания образца $Cd_{0.65}Mn_{0.35}Te$ представлен на рис. 2. Оказалось, что присутствие примесных центров вызывает изменение поглощения образца при подсветке с энергиями квантов $h\nu_0$ меньшими ширины запрещенной зоны (фотопоглощение). Сходное в общих чертах явление наблюдается в некоторых соединениях группы III-V. В образцах полуизолирующего GaAs в области $0.8\text{ eV} < h\nu < E_g$ исследовано поглощение глубокого донора $EL2$ при переводе его в метастабильное состояние $EL2^*$ [3], причем переход $EL2 \rightarrow EL2^*$ можно индуцировать подсветкой $h\nu_0 = 1.17$ eV, а обратный переход $EL2^* \rightarrow EL2$ — подсветкой $h\nu_0 = 0.94$ eV [6]. Однако наблюдаемые нами фотоиндукционные изменения коэффициента поглощения имеют существенные отличия, так как в спектре $Cd_{0.65}Mn_{0.35}Te$ существует область, где подzonная подсветка просветляет образец. Обнаружить аналогичный эффект в кри-

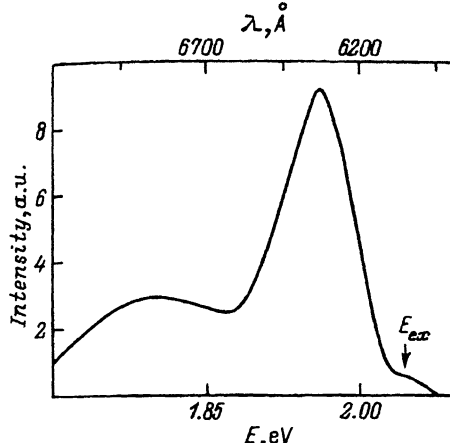


Рис. 1. Люминесценция исследованного образца $\text{Cd}_{0.65}\text{Mn}_{0.35}\text{Te}$ при $T = 77 \text{ K}$.

E_{ex} — люминесценция экситона.

сталлах $\text{Cd}_{1-x}\text{Mn}_x\text{Te}$ (с $x = 0.35$ и другими значениями x), выращенных в стандартных условиях, не удалось.

Измерялись спектры пропускания образцов $\text{Cd}_{0.65}\text{Mn}_{0.35}\text{Te}$ с толщиной 0.1–1.1 см ниже энергии экситона с $n = 1$ в интервале от 1.93 до 1.38 eV при $T = 77 \text{ K}$. Монохроматизированный свет галогенной лампы (зондирующий луч) проходил через образец и проектировался на щель спектрометра ДФС-24, при этом монохроматор МДР-4 и спектрометр согласовывались по длинам волн. В качестве подзонной $h\nu_r$ и более длинноволновой $h\nu_{ir}$ подсветок использовалось излучение гелий–неонового лазера с энергиями квантов 1.96 eV (мощность 2 mW) и 0.36 eV (мощность 5 mW) соответственно. Интенсивность подсветок менялась с помощью кристаллического поляризатора. На рис. 3 показаны величины и кинетика изменения пропускания зондирующего света с энергией 1.87 eV (коэффициент поглощения около 10^2 cm^{-1}) при подзонной подсветке ($h\nu_r = 1.96 \text{ eV}$). Видно, что включение подсветки в момент $t = 0$ уменьшает пропускание образца с толщиной 1.1 см на 70%, после выключения подсветки в момент $t = t_1$ происходит медленное просветление образца.

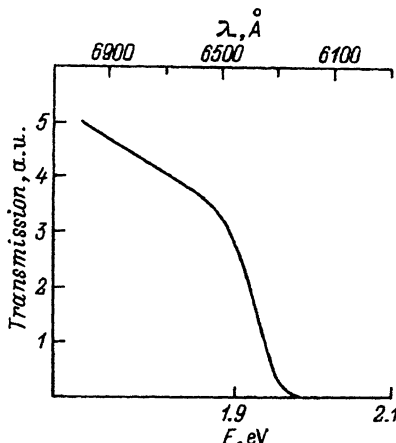


Рис. 2. Пропускание $\text{Cd}_{0.65}\text{Mn}_{0.35}\text{Te}$ с толщиной 1.1 см при $T = 77 \text{ K}$.

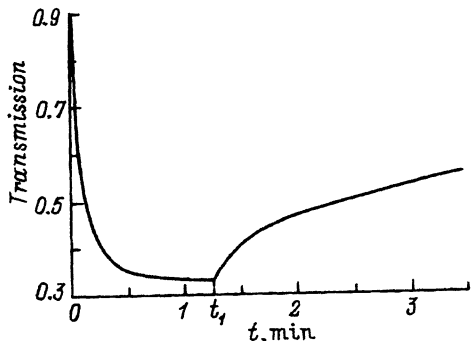


Рис. 3. Кинетика изменения пропускания $\text{Cd}_{0.65}\text{Mn}_{0.35}\text{Te}$ при включении ($t = 0$) и выключении ($t = t_1$) подзонной подсветки.

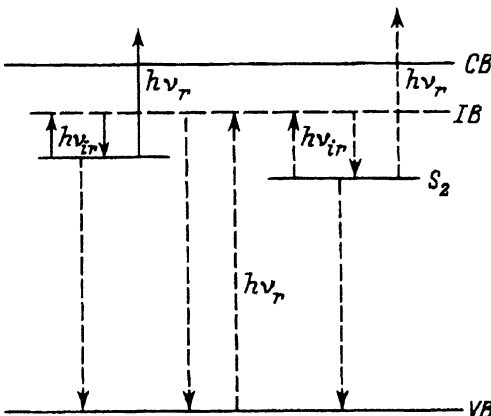


Рис. 4. Схема уровней и электронных переходов в образце $\text{Cd}_{0.65}\text{Mn}_{0.35}\text{Te}$.

Глубина модуляции поглощения и скорость его изменения зависят от интенсивности подзонной подсветки, причем время, необходимое для полного просветления кристалла, можно существенно уменьшить дополнительной ИК-подсветкой.

Исследование кинетики затемнения и просветления образца позволяет предложить схему уровней энергии (рис. 4). По-видимому, в кристалле существуют два достаточно глубоких примесных уровня (S_1 и S_2 на рис. 4), ответственных за изменение пропускания в случае подсветки.

Наблюдаемые изменения спектра вряд ли можно объяснить только появлением новой наведенной полосы поглощения, аналогичной наблюдавшейся в GaAs [3]. По нашему мнению, изменение пропускания образца связано также с тем, что образование заряженных примесей приводит к появлению случайных электрических полей. Эти поля изменяют форму края поглощения (эффект Франца-Келдыша [6]) таким образом, что в области $1.38 \div 1.93$ eV наблюдается затемнение образца, а в более высокоэнергетической области вплоть до 2.0 eV — его просветление.

Подзонная подсветка переводит электроны из валентной зоны на мелкие примесные уровни IB, расположенные ниже дна зоны проводимости; после чего часть фотоэлектронов заселяет уровни S_1 и S_2 (зарядка центров по схеме $VB \rightarrow IB \rightarrow S_1, S_2$ (рис. 4)), а часть рекомбинирует обратно в валентную зону. Носители в состояниях S_1 и S_2 могут либо рекомбинировать с дырками валентной зоны, либо под действием подзонной подсветки $h\nu_r$ выбрасываться высоко в зону проводимости ($S_1, S_2 \rightarrow CB$). При достаточно длительной подсветке в образце устанавливается динамическое равновесие. Выключение подсветки прерывает процессы $VB \rightarrow IB \rightarrow S_1, S_2$ и $S_1, S_2 \rightarrow CB$, вследствие чего происходит опустошение уровней S_1 и S_2 через переходы $S_1, S_2 \rightarrow IB \rightarrow VB$. При включении ИК-подсветки $h\nu_r$ появляются дополнительные переходы ($S_1, S_2 \rightarrow IB \rightarrow VB$).

Процесс опустошения уровней S_1 и S_2 можно описать выражениями

$$N_1 = N_{01} \exp(-w_1 t), \quad (1a)$$

$$N_2 = N_{02} \exp(-w_2 t), \quad (1b)$$

где N_1 и N_2 — концентрации носителей на уровнях S_1 и S_2 в момент времени t , N_{01} и N_{02} — концентрации занятых состояний S_1 и S_2 в мо-

мент выключения подзонной подсветки, w_1 и w_2 — вероятности ухода носителей с уровнями S_1 и S_2 .

Если считать, что коэффициент наведенного поглощения приблизительно пропорционален концентрациям заряженных центров S_1 и S_2 , то $\alpha = k_1 N_1 + k_2 N_2$, где k_1 и k_2 — численные коэффициенты. В этом случае изменение во времени интенсивности света, проходящего через образец, после выключения подзонной подсветки можно представить как

$$I = I_0 \exp \{ -k_1 N_{01} \exp(-w_1 t) - k_2 N_{02} \exp(-w_2 t) \}, \quad (2)$$

где I_0 — интенсивность света, проходящего через образец при включенной подсветке. Поскольку ИК-подсветка увеличивает вероятность ухода носителей с уровнями S_1 и S_2 ($S_1, S_2 \rightarrow IB$), то естественно ожидать изменений в кинетике просветления образца при различных уровнях ИК-подсветки.

На рис. 5 представлены экспериментальные и расчетные (с использованием выражения (2)) кривые восстановления прозрачности образца после выключения подзонной подсветки ($t = 0$) для различных уровней ИК-подсветки P_{ir} . Видно, что расчетные кривые хорошо согласуются с экспериментальными точками. Как и следовало ожидать, величины $k_1 N_{01}$ и $k_2 N_{02}$ не зависят от уровня подсветки и равны для всех кривых 0.85 и 0.45 соответственно. Вероятности w_1 и w_2 переходов с уровнями S_1 и S_2 линейно зависят от уровня ИК-подсветки (рис. 6). Экстраполяция в области малых уровней подсветки при $T = 77$ К показывает, что w_1 не обращается в нуль при $P = 0$, вероятно, вследствие нерадиационной разрядки примесного уровня S_1 . Что касается вероятности w_2 , то ее обращение в нуль при $P_{ir} = 0.1 P_0$, где P_0 — максимальная интенсивность, может быть объяснено наличием переходов $S_1 \rightarrow S_2$: в этом случае при малых уровнях ИК-подсветки ($P_{ir} < 0.1 P_0$) количество заряженных центров S_2 может начать увеличиваться, и формально w_2 станет отрицательной величиной. В этом случае выражение (1b) следует видоизменить с учетом возможного заселения S_2 с S_1 .

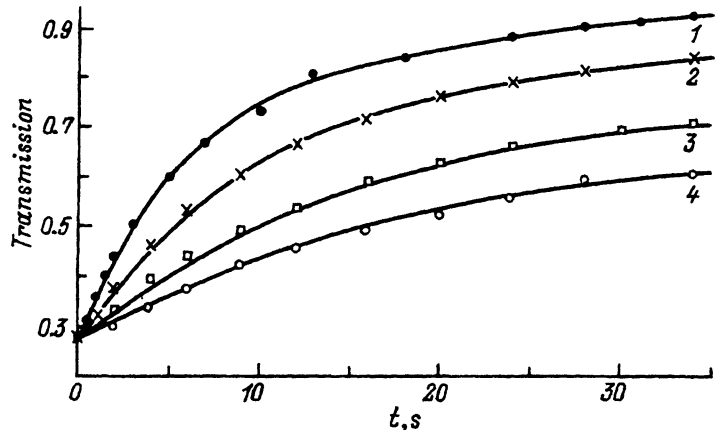


Рис. 5. Кинетика восстановления пропускания в $Cd_{0.65}Mn_{0.35}Te$ после выключения подзонной подсветки при различных уровнях ИК-подсветки.

P_{ir} : 1 — P , 2 — $0.5P$, 3 — $0.25P$, 4 — $0.12P$; $P = 0.5 \text{ W} \cdot \text{cm}^{-2}$.

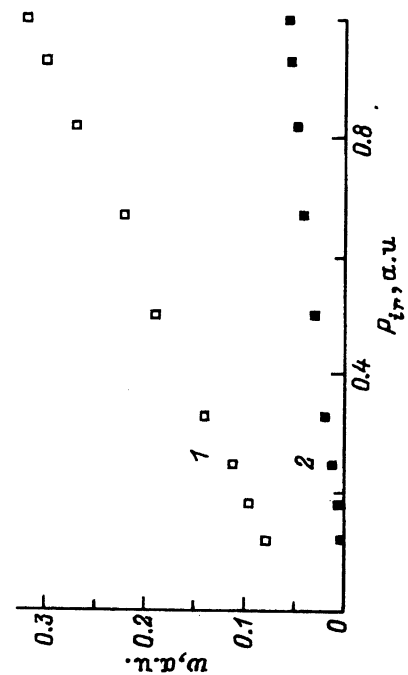


Рис. 6. Зависимости вероятностей w_1 (1) и w_2 (2) от интенсивности ИК-подсветки P_{tr} , полученные из расчета кинетики изменения пропускания (см. (4)).

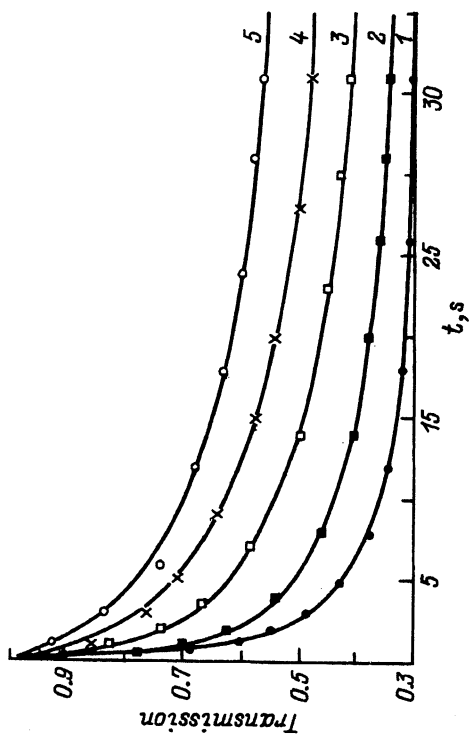


Рис. 7. Кинетика уменьшения пропускания образца Cd_{0.65}Mn_{0.35}Te при разных уровнях подзонной подсветки P_r .
 Р: 1 — P , 2 — $0.5P$, 3 — $0.25P$, 4 — $0.12P$, 5 — $0.08P$,
 $P = 0.2 \text{ W} \cdot \text{cm}^{-2}$.

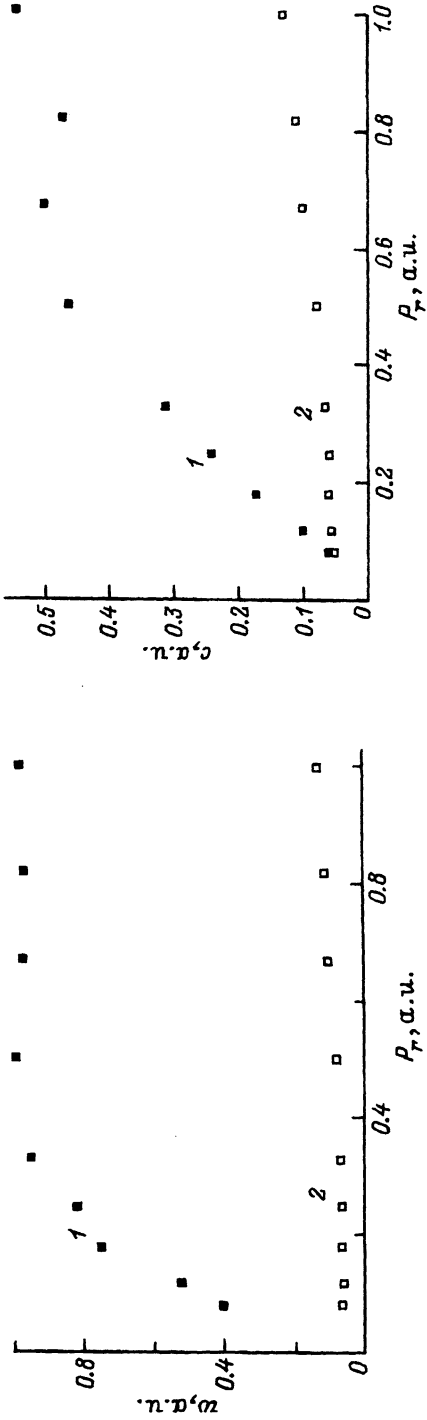


Рис. 8. Зависимости вероятностей w_1 (1) и w_2 (2) от интенсивности подзонной подсветки P_r .

Рис. 9. Зависимости коэффициентов c_1 (1) и c_2 (2) от интенсивности подзонной подсветки P_r .

Процесс заселения уровней S_1 и S_2 при включении подзонной подсветки в рамках предложенной модели описывается выражениями

$$N_1 = \frac{c_1}{w_1} \{1 - \exp(-w_1 t)\}, \quad (3a)$$

$$N_2 = \frac{c_2}{w_2} \{1 - \exp(-w_2 t)\}, \quad (3b)$$

где N_1 , N_2 , w_1 , w_2 имеют тот же смысл, что и в (1), c_1 и c_2 описывают поступление носителей с мелких примесных уровней на уровня S_1 и S_2 соответственно. Тогда процесс изменения во времени интенсивности света, проходящего через образец, после включения подзонной подсветки можно описать выражением

$$I = I_0 \exp \left\{ -k_1 \frac{c_1}{w_1} [1 - \exp(-w_1 t)] - k_2 \frac{c_2}{w_2} [1 - \exp(-w_2 t)] \right\}. \quad (4)$$

На рис. 7 сопоставлены экспериментальные и расчетные данные для различных интенсивностей подзонной подсветки. Зависимости параметров w_1 , w_2 и c_1 , c_2 от интенсивности этой подсветки представлены на рис. 8 и 9. Сравнение величин w_1 и w_2 , полученных при ИК-подсветке и подзонной подсветке (рис. 6 и 8), указывает на то, что подзоная подсветка наряду с переходами $VB \rightarrow IB \rightarrow S_1$, S_2 индуцирует переходы S_1 , $S_2 \rightarrow CB$. Вероятности w_1 и w_2 оказались при подзонай подсветке вдвое большими, чем при ИК-подсветке, что связано с большим коэффициентом поглощения.

В предложенной модели не учтены неоднородность возбуждения образца и возможность оптического возбуждения переходов иного типа. Уточнение этих моментов позволит понять нелинейную зависимость величин c_1 и c_2 от интенсивности подзонай подсветки P_r . Этими же причинами можно объяснить тот факт, что величины c_2 и w_2 не обращаются в нуль при экстраполяции P_r к нулю.

В заключение отметим, что влияние оптической перезарядки примесных центров на форму края поглощения полупроводников имеет практическое значение, и, как показывают наши последние эксперименты, наблюдается в кристаллах группы III-V.

Список литературы

- [1] Кочкаев С.К., Копаранова И.С., Георгиев М. Квантовая электрон. 4, 4, 857 (1977).
- [2] Вартанян Э.С., Овсепян Р.К., Погосян А.Р. Кристаллография 35, 4, 900 (1990).
- [3] Tajima M., Saito H., Ino T., Isida K. Jap. J. Appl. Phys. 27, 1. P. 2, L101 (1988).
- [4] Агекян В.Ф., Фан Зунг. ФТТ 27, 4, 1216 (1985).
- [5] Goede O., Heimbrodt W. Phys. Stat. Sol. (b) 146, 1, 11 (1988).
- [6] Manasrek M.O., Fischer P.W., Mitchel W.C. Phys. Stat. Sol. (b) 154, 1, 11 (1989).
- [7] Вавилов В.С. Действие излучения на полупроводники (1963), С. 28.